

## ỔN ĐỊNH DÒNG ĐIỆN CHO BỘ PHÁT NĂNG LƯỢNG MẶT TRỜI VÀO LƯỚI ĐIỆN

Trương Việt Anh<sup>(1)</sup>, Nguyễn Bá Thuận<sup>(2)</sup>

(1) Trường Đại học Sư phạm Kỹ thuật TpHCM

(2) Trường Đại Học Lạc Hồng

(Bài nhận ngày 28 tháng 11 năm 2009, hoàn chỉnh sửa chữa ngày 15 tháng 11 năm 2010)

**TÓM TẮT:** Bài báo này trình bày một mô hình kết nối nguồn năng lượng mặt trời, cũng như các nguồn năng lượng phân tán khác tại các hộ gia đình, hòa đồng bộ vào lưới điện phân phối. Việc hòa này dùng phương pháp điều khiển bám sát tần số, điện áp của nguồn lưới cũng như nguồn năng lượng mặt trời. Kết quả khảo sát trên mô hình của phương pháp cho thấy: Khả năng ổn định dòng điện bơm vào lưới bất chấp sự thay đổi của điện áp và tần số lưới điện hoặc điện áp nguồn một chiều của hệ thống inverter bị suy giảm hay tăng cao. Ngoài ra mô hình còn có khả năng giảm thiểu lượng công suất kháng truyền vào lưới để tận dụng tối đa khả năng các khoá điện tử của bộ inverter trong việc truyền dòng công suất tác dụng.

**Từ khóa:** mô hình, kết nối nguồn năng lượng mặt trời, lưới điện.

### 1. GIỚI THIỆU

Các nguồn năng lượng lớn chủ yếu có nguồn gốc hóa thạch luôn gây ô nhiễm môi trường, đang cạn kiệt dần và làm cho trái đất ấm dần lên. Việc tìm ra nguồn năng lượng sạch, vô tận luôn là ưu tiên hàng đầu. Năng lượng mặt trời, năng lượng gió đáp ứng được những yêu cầu này, nhưng có công suất không lớn và rất phân tán, để tận dụng có hiệu quả, cần phải kết nối các nguồn năng lượng này thông qua hệ thống lưới điện phân phối có sẵn bằng các bộ nghịch lưu có khả năng kết nối với điện xoay chiều.

Đã có nhiều nghiên cứu về lĩnh vực này [1..4], nhưng các mục tiêu chủ yếu tập trung điều khiển dòng công suất tác dụng P và công suất phản kháng Q với các điều kiện ràng buộc

như tần số, điện áp lưới không thay đổi hay điện áp DC của bộ nghịch lưu không thay đổi, tuy nhiên, thực tế, các giá trị này thay đổi đáng kể.

Bài báo này tập trung xây dựng một giải thuật điều khiển bộ nghịch lưu kết nối lưới AC có khả năng tự động ổn định dòng điện bơm vào lưới với hệ số công suất ở mức cao khi điện áp, tần số lưới và điện áp DC đặt vào bộ nghịch lưu thay đổi.

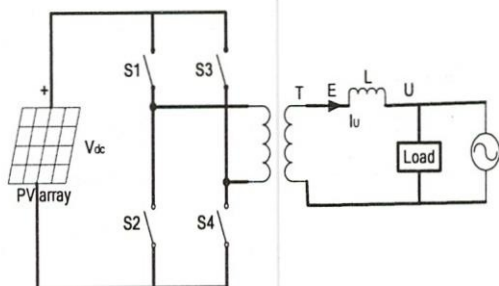
### 2. PHƯƠNG PHÁP TIẾP CẬN

Sơ đồ kết nối nguồn năng lượng mặt trời vào lưới điện phân phối hạ thế và sơ đồ tương đương được biểu diễn lần lượt tại hình 1 và 2. Công suất truyền qua cuộn kháng L bơm vào lưới được mô tả tại các biểu thức:

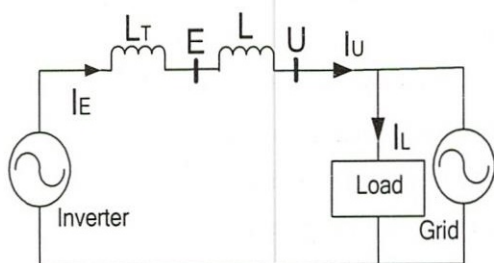
$$P = \frac{EU}{X_s} \sin \delta \quad (1)$$

$$Q = \frac{EU}{X_s} \cos \delta - \frac{U^2}{X_s} \quad (2)$$

Trong đó:  $\delta$  là góc lệch giữa  $\vec{E}$  (điện áp đầu ra của Inverter) và  $\vec{U}$  (điện áp lưới).



Hình 1. Sơ đồ kết nối nguồn NLMT với lưới



Hình 2. Sơ đồ kết nối tương đương

Từ biểu thức (1) và (2) dễ dàng nhận thấy, việc điều khiển công suất  $P$  phụ thuộc nhiều vào góc lệch  $\delta$  và điều khiển  $Q$  bằng cách thay đổi điện áp  $E$ . Để tận dụng tối đa khả năng mang tải của các khoá điện tử, biến áp xung, cuộn kháng  $L$ , bộ nghịch lưu luôn phải làm việc ở chế độ:

- Giữ công suất phản kháng  $Q$  truyền vào lưới gần bằng 0 hay hệ số công suất  $PF = 1$

- Giữ dòng điện bơm vào lưới không đổi ngay khi điện áp  $V_{dc}$ , điện áp lưới, tần số lưới thay đổi.

### 2.1. Xác định điện áp $E$ để hệ số công suất cao

Nếu bỏ qua các loại tổn thất công suất trên máy biến áp nâng áp, từ biểu thức (2) để hệ số công suất  $PF$  đạt mức cao hay công suất phản kháng bơm vào lưới  $Q = 0$  thì:

$$E \cos \delta = U \quad \text{hay} \quad E(t) \cos \delta = U(t) \quad (3)$$

Để  $E(t) \cos \delta = U(t)$ , tín hiệu sóng sin của lưới điện được hồi tiếp làm sóng sin điều khiển. Điều này cho phép  $E$  luôn bám sát theo  $U$  lưới tỷ lệ không đổi là  $\cos \delta$ . Khi đó, dòng điện Inverter  $I_U$  bơm vào lưới được điều chỉnh tăng hay giảm hoặc  $V_{dc}$  thay đổi và ngay cả khi tần số lưới biến động thì  $PF$  vẫn ở mức cao.

### 2.2. Xác định góc lệch $\delta$ để $I = \text{const}$

Từ biểu thức (1) và (3), khi  $Q = 0$ , dòng điện  $I$  được tính theo biểu thức (4)

$$I = \frac{S}{U} = \frac{\sqrt{P^2 + Q^2}}{U} = \frac{P}{U} = \frac{E}{X_s} \sin \delta \quad (4)$$

$$(3), (4) \Rightarrow I = \frac{U}{X_s \cos \delta} \sin \delta = \frac{U}{X_s} \text{tg} \delta \quad (5)$$

Nhận xét: Theo biểu thức (3) và (5) cho thấy:

- Điện áp đầu cuộn kháng luôn phải duy trì điều kiện  $E(t) \cos \delta = U(t)$  để đảm bảo cho điều kiện  $Q=0$  hay hệ số công suất  $PF$  ở mức cao
- Để dòng điện  $I = \text{const}$ , khi  $U$  tăng k lần, thì  $\text{tg} \delta$  phải giảm đi k lần và ngược lại.

▪ Khi tần số thay đổi và điện áp không đổi, nếu giữ nguyên góc lệch  $\delta$  thì  $I = \text{const}$

### 2.3. Điều khiển góc lệch $\delta$ theo yêu cầu

Để điều khiển dòng điện bơm vào lưới theo (5) và dùng tín hiệu sóng sin của điện áp lưới làm sóng điều khiển như đã nêu tại II.1, cần phải làm trễ tín hiệu sóng sin này một khoảng thời gian  $t$  được tính theo (6)

$$t = T - \frac{\delta \cdot T}{360^\circ} = T \left( 1 - \frac{\delta}{360^\circ} \right) = \frac{360^\circ - \delta}{360^\circ f} \quad (6)$$

Việc làm trễ tín hiệu sóng sin một khoảng thời gian  $t$  như (6) mà không làm biến dạng sóng là một vấn đề khó khăn, vì vậy, tín hiệu sóng sin được đưa ngay vào bộ điều chế để thành các xung vuông, sau đó các xung vuông này được làm trễ một thời gian  $t$  (hình 5), bằng cách này mạch điện điều khiển sẽ trở nên đơn giản hơn.

### 2.4. Inverter làm việc ổn định khi $V_{dc}$ thay đổi

Các thông số như điện áp ngõ ra của inverter  $E$  hay góc lệch  $\delta$  luôn được điều chỉnh mỗi khi có sự thay đổi của lưới điện để đảm bảo điều kiện  $I = \text{const}$  và  $Q = 0$ . Tuy nhiên, khi  $V_{dc}$  của bộ pin mặt trời thay đổi, việc thay đổi các thông số trên không còn phù hợp.

Phương pháp điều khiển bộ nghịch lưu SPWM (Sinusoidal Pulse Width Modulation)

[5] dùng bộ tạo sóng sin làm sóng điều khiển và được trộn với sóng mang tam giác tần số cao, cho ra các độ rộng xung thay đổi để điều khiển thời gian đóng ngắt các khóa của bộ nghịch lưu. Công thức được tính như sau.

$$E = m_a K_1 V_{dc} \quad (7)$$

Trong đó:

$E$  : điện áp ngõ ra inverter đặt vào cuộn kháng  $L$ .

$V_{dc}$ : điện áp DC của bộ nghịch lưu.

$K_1$  : tỷ số máy biến áp động lực nâng áp.

$$m_a : \text{chỉ số điều chế.} \quad m_a = \frac{V_s}{V_t} \quad (8)$$

Với  $V_s$  là điện áp đỉnh của sóng sin điều khiển và  $V_t$  là điện áp đỉnh của sóng mang tam giác.

Do lấy tín hiệu điện áp lưới  $U(t)$  làm sóng điều khiển nên  $V_s(t) = K_2 U(t)$ , với  $K_2$ : tỷ số máy biến áp lấy tín hiệu hồi tiếp. Nên biểu thức (7) được viết lại như sau:

$$E(t) = \frac{K_2 U(t)}{V_t} K_1 V_{dc} \quad (9)$$

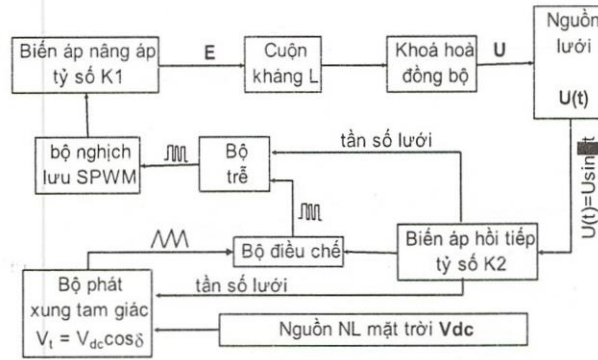
$$(3) \text{ và } (9) \Rightarrow V_t = V_{dc} \cos \delta \quad (10)$$

Trong đó  $K_2$  được chọn để  $K_1 K_2 = 1$ .

Vậy khi duy trì (10),  $E(t)$  sẽ có giá trị biên độ đỉnh không đổi bất chấp khi nguồn  $V_{dc}$  thay đổi.

### 2.5. Sơ đồ khối của bộ điều khiển

Sơ đồ điều khiển và kết nối được diễn giải trên hình 3.

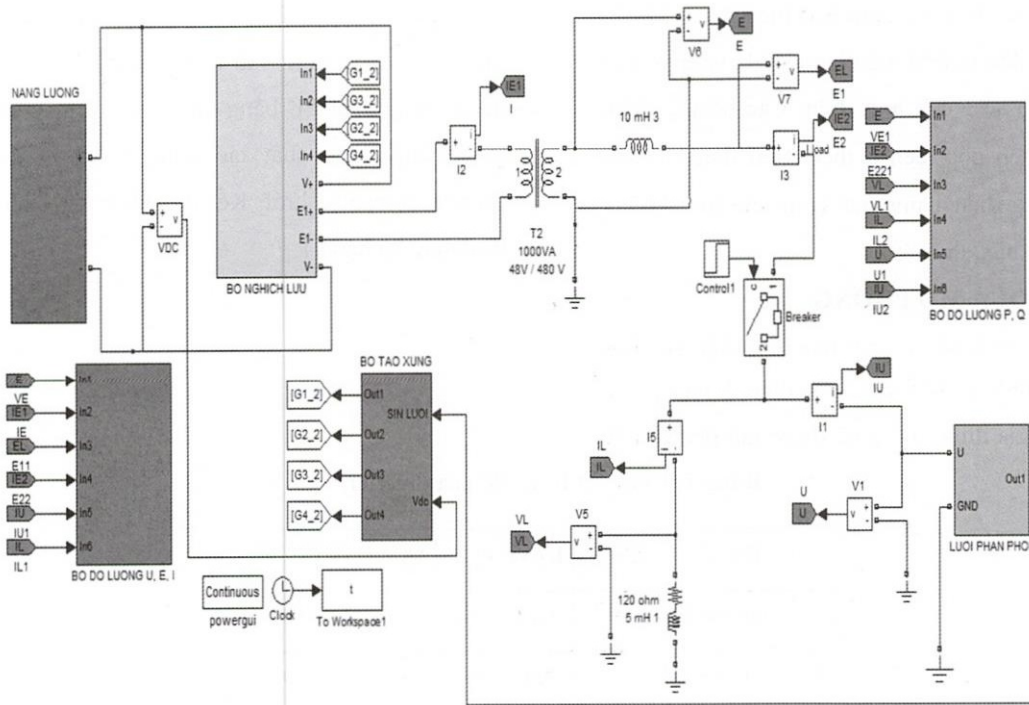


Hình 3. Sơ đồ nguyên lý kết nối điều khiển

### 2.6. Sơ đồ mô phỏng trong MatLab

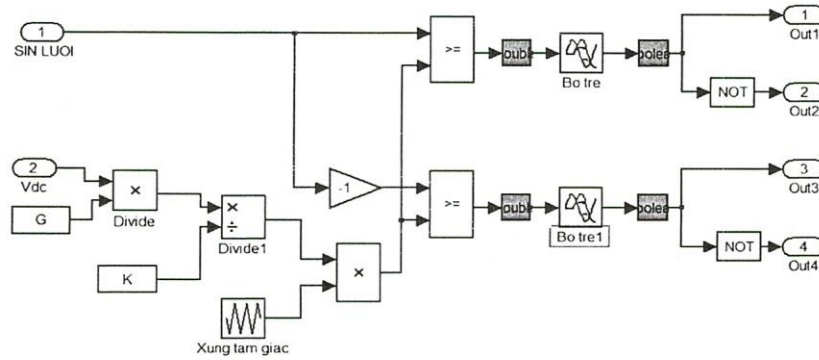
Sử dụng MatLab là công cụ mô phỏng phương pháp hòa đồng bộ nguồn năng lượng mặt trời cũng như khảo sát các chế độ làm việc

của Inverter như: dòng điện bơm vào lưới khi nguồn năng lượng mặt trời, U và tần số lưới thay đổi.



Hình 4. Sơ đồ kết nối trên MatLab

Sơ đồ kết nối trên hình 4 quan trọng nhất là bộ điều khiển xung kích cho bộ nghịch lưu. Hình 5 diễn giải bộ điều khiển xung kích.



Hình 5. Sơ đồ bộ xung kích

Tín hiệu  $V_{dc}$  được đưa vào bộ điều khiển để điều chỉnh giá trị đỉnh của xung tam giác  $V_t$  theo biểu thức (10). Tín hiệu sóng sin được lấy từ biến áp hồi tiếp của lưới điện được dùng làm sóng điều khiển để đảm bảo biểu thức (3) nên điện áp đầu ra  $E(t)$  luôn bám sát  $U$  và đảm bảo đúng tần số  $f$  của lưới điện. Các bộ trễ nhằm điều khiển góc lệch  $\delta$  theo biểu thức (6) sao cho dòng điện  $I$  inverter bơm vào lưới không đổi theo biểu thức (5).

### 3.KẾT QUẢ MÔ PHỎNG

Mô hình bộ inverter hòa lưới điện có công suất 7000VA, hòa vào lưới điện 1 pha 220V cho hộ gia đình, mô hình được mô phỏng trên

MatLab. Tiến hành khảo sát các nội dung như sau:

#### 3.1. Khảo sát quan hệ PF và dòng inverter

$I_U$

Thay đổi góc lệch  $\delta$  để điều khiển dòng điện inverter  $I_U$  bơm vào lưới, xác định giá trị hệ số công suất PF bằng cách kiểm tra tỷ số giữa dòng công suất tác dụng  $P$  và  $Q$  do inverter bơm vào lưới. Kết quả khảo sát được trình bày tại bảng 1.

Bảng 1. Khảo sát  $I_U$  và PF của inverter

$\delta$	Độ trễ	$\text{Cos}\delta$	$I_U(\text{A})$	P(W)	Q(Var)	PF
$1^0$	0.019944	0.9998	1.41	200	10	0.998
$3^0$	0.019833	0.9986	2.96	650	-20	0.999
$15^0$	0.019167	0.9659	8.48	1950	-270	0.990
$30^0$	0.018333	0.8660	18.38	4200	-750	0.984
$45^0$	0.0175	0.7071	31.11	7065	-1460	0.979

Kết quả tại bảng 1 cho thấy khi dòng tăng từ 1.41A đến 31.11 A (giá trị hiệu dụng), hệ số

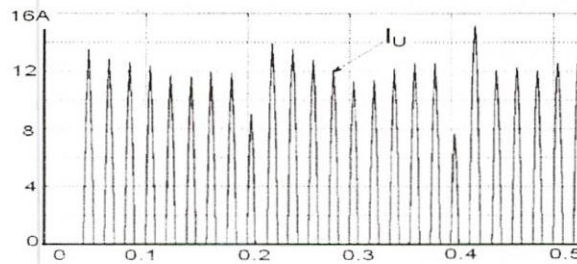
công suất  $\text{PF} \approx 1$ , thể hiện qua giá trị công suất phản kháng  $Q$  của inverter rất nhỏ so với công

suất tác dụng P. Điều này cho thấy việc hệ số công suất PF không những phụ thuộc vào góc lệch  $\delta$  giữa  $\vec{E}$  và  $\vec{U}$  như kết luận của [2] mà còn phụ thuộc vào độ lớn của 2 vector này theo biểu thức (3).

### 3.2. Khảo sát ổn định dòng $I_U$ theo $V_{dc}$ và $U_{lưới}$

Khảo sát tính ổn định của dòng  $I_U$  bơm vào lưới khi điện áp  $V_{dc}$  thay đổi hay điện áp U lưới thay đổi được thực hiện bằng 3 thí nghiệm

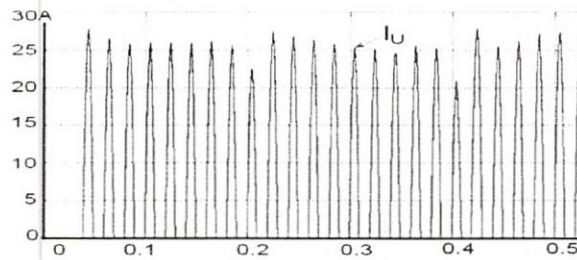
mô phỏng với góc lệch  $\delta$  là  $15^\circ$ ,  $30^\circ$  và  $45^\circ$  tương ứng với dòng điện  $I_U$  là 8.48A, 18.38A, 31.1A. Các thí nghiệm có cùng thời điểm hoà lưới lúc 0,03s, lúc này điện áp  $V_{dc}=48V$ ,  $U_{lưới}=220V$ , tại thời điểm 0.2s giá trị điện áp của pin mặt trời bị giảm còn  $V_{dc}=40V$ , điện áp lưới không đổi và thời điểm 0.4s, giá trị điện áp nguồn tăng  $U_{lưới}=260V$ . Kết quả mô phỏng được biểu diễn tại hình 6( $\delta=15^\circ$ ), hình 7( $\delta=30^\circ$ ) và hình 8( $\delta=45^\circ$ ).



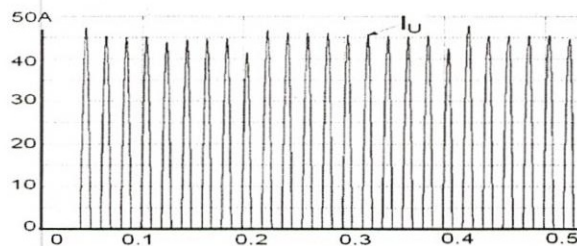
Hình 6:  $\delta=15^\circ$ ,  $I_U=8.48$  khi  $V_{dc}$  và  $U_{lưới}$  thay đổi

Trong suốt thời gian từ 0.03s đến 0.5s, dòng hiệu dụng  $I_U$  của Inverter bơm vào lưới vẫn không đổi thời gian quá độ diễn ra nhanh chóng chỉ diễn ra trong 1 chu kỳ và biên độ

dòng điện không thay đổi đáng kể. Tuy nhiên, mức dao động của dòng điện quá độ sẽ ít hơn khi góc lệch  $\delta$  lớn ( $I_U$  lớn).



Hình 7:  $\delta=30^\circ$ ,  $I_U=18.38$  khi  $V_{dc}$ ,  $U_{lưới}$  thay đổi



Hình 8:  $\delta=45^\circ$ ,  $I_U=31.1$  khi  $V_{dc}$ ,  $U_{lưới}$  thay đổi

**3.3. Khảo sát ổn định dòng  $I_U$  theo tần số lưới**

Để khảo sát tính ổn định của dòng  $I_U$  bơm vào lưới khi tần số lưới thay đổi, tiến hành 3 thí nghiệm mô phỏng với các góc lệch  $\delta$  là  $15^\circ$ ,  $30^\circ$  và  $45^\circ$  ứng với dòng điện  $I_U$  là 8.48A, 18.38A, 31.1A. Cũng tương tự như khảo sát tại mục III.2, các thí nghiệm có cùng thời điểm hoà lưới lúc 0,03s, lúc này điện áp  $V_{dc} = 48V$ ,  $U_{lưới} = 220V$ , tần số lưới là  $f = 50Hz$ , tại thời điểm 0.2s tần số lưới giảm đột ngột  $f = 48Hz$ ,  $V_{dc} = 48V$ ,  $U_{lưới} = 220V$ . Kết quả được biểu diễn tại hình 9( $\delta = 15^\circ$ ), hình 10( $\delta = 30^\circ$ ) và hình 11( $\delta = 45^\circ$ ).

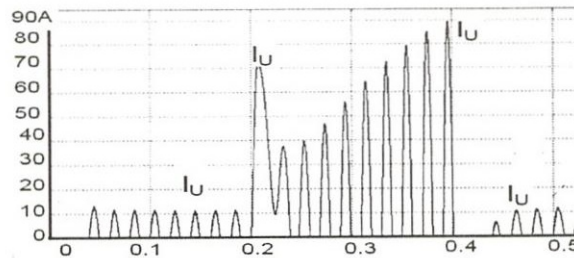
Các kết quả mô phỏng cho thấy thời gian quá độ là 0.2s từ thời điểm 0.2s đến 0.4s, sau đó giá trị dòng điện trở lại bình thường, dòng điện  $I_U$  trong thời kỳ quá độ bị biến động mạnh so với giá trị ổn định nhất là khi Inverter làm việc với góc lệch  $\delta$  bé.

**3.4. Nhận xét**

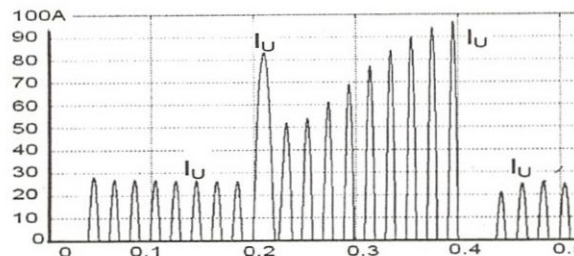
- Qua các khảo sát đã trình bày, khi dòng điện  $I_U$  bơm vào lưới từ 1.4A đến 31.1A, giá trị hệ số công suất ổn định ở mức  $PF > 0.97$ , tốt hơn hẳn kết quả của [2]. Điều này cho thấy tính hiệu quả của giải thuật đề nghị.

- Giá trị dòng điện  $I_U$  có mức ổn định lớn khi điện áp  $V_{dc}$  và  $U_{lưới}$  thay đổi 20% quanh giá trị làm việc bình thường. Quá trình tự động điều khiển ổn định diễn ra nhanh chóng (1 chu kỳ) và biên độ dao động của dòng  $I_U$  là không đáng kể khi công suất bơm vào lưới lớn. Điều này tốt hơn cách điều khiển trình bày tại [1].

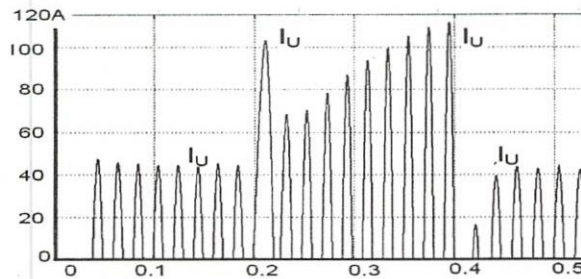
- Khi tần số dao động ở mức 50Hz xuống 48Hz thì thời gian ổn định dòng  $I_U$  diễn ra chậm (0,2s) với mức dao động lớn. Đây cũng chính là điều cần phải hiệu chỉnh giải thuật điều khiển trong những nghiên cứu sau.



Hình 9:  $\delta = 15^\circ$ ,  $I_U = 8.48$  khi tần số  $f$  thay đổi



Hình 10:  $\delta = 30^\circ$ ,  $I_U = 18.38A$  khi tần số  $f$  thay đổi



Hình 11:  $\delta = 45^\circ$ ,  $I_U = 31.1A$  khi tần số  $f$  thay đổi

#### 4.KẾT LUẬN

Bằng kỹ thuật hồi tiếp sóng sin của điện áp lưới  $U$  làm sóng điều khiển của bộ nghịch lưu và thay đổi điện áp xung tam giác theo giá trị điện áp một chiều của Pin mặt trời đã giải quyết được:

- Ổn định dòng điện  $I_U$  Inverter bơm vào lưới khi có sự thay đổi điện áp lưới và tần số lưới. Giải thuật này mang tính khả thi khi bộ trễ (điều khiển góc lệch) chỉ tác động lên các

xung vuông mà không trực tiếp làm trễ sóng sin hồi tiếp.

- Nâng cao hệ số công suất ( $PF \approx 1$ ) để tận dụng tối đa khả năng mang tải của khóa điện tử trong việc truyền công suất tác dụng vào lưới.

Tuy nhiên, trong các nghiên cứu tiếp theo cần giải quyết dòng điện  $I_U$  tăng cao trong quá trình quá độ khi tần số thay đổi.

### STABILISING THE ELECTRIC CURRENT FOR THE SUN-ENERGY RIDDEN GENERATOR TO LOAD INTO A GRID

Truong Viet Anh<sup>(1)</sup>, Nguyen Ba Thuan<sup>(2)</sup>

(1) University of Technical Education, HCM City

(2) Lac Hong University

**ABSTRACT:** In this paper, a new power source coupling model is used to synchronise solar power source and other households power sources into distributive electrical grid. This synchronization uses frequency tracking control method, electrical grid voltage as well as solar power source. Research results show that the injected current is stable regardless the change in voltage and frequency of the grid and the fluctuation of the direct source voltage of the inverter system. Besides, the model is capable of reducing creative power transmitting into electrical in order to take advantage of capacity of electronic interlocking of the inverter when transmitting active power.

**Keywords:** model, a solar power source coupling, electrical grid.

#### TÀI LIỆU THAM KHẢO



- [1].Tran Cong Binh, Mai Tuan Dat, Ngo Manh Dung, Phan Quang An, Pham Dinh Truc and Nguyen Huu Phuc, *Active and Reactive power controller for single-phase Grid-connected photovoltaic systems*, Department of Electrical- Electronics Engineering- HoChiMinh City University of Technology.Vietnam National University in HoChiMinh, Vietnam, Feb. (2009).
- [2].L. Hassaine, E. Olias, J. Quintero, M. Haddadi, *Digital power factor control and reactive power regulation for grid-connected photovoltaic inverter*, Power electronics systems group, universidad carlos III de madrid, avda, de la universidad 30, 28911 leganés, Madrid, Spain, *Renewable energy* 34, 315-321, (2009).
- [3].Hassaine, L.; Olias, E.; Quintero, J.; Barrado, A., *Digital control based on the shifting phase for grid connected photovoltaic inverter*, Applied Power Electronics Conference and Exposition, 2008. APEC 2008, Twenty-Third Annual IEEE, pp.945-951, Feb, (2008).
- [4].Byunggyu Yu; Youngseok Jung; Junghun So; Hyemi Hwang; Gwonjong Yu, *A Robust Anti-islanding Method for Grid-Connected Photovoltaic Inverter*, Photovoltaic Energy Conversion, the 2006 IEEE 4th World Conference, vol. 2, pp.2242-2245, May. (2006).
- [5].Nguyễn Văn Nhò, *Điện Tử Công Suất 1*, Nhà Xuất bản Đại Học Quốc Gia Tp. Hồ Chí Minh, (2005).